# Анализ различий во взаимосвязях физиологических ритмов крыс с помощью вейвлетного разложения

A.O. Смирнов<sup>1</sup>, B.E. Титов<sup>1</sup>, O.E. Дик<sup>1,2</sup>, A.И. Лимонов<sup>1</sup>

<sup>1</sup> Санкт-Петербургский государственный университет аэрокосмического приборостроения

<sup>2</sup>Институт физиологии им. И. П. Павлова РАН

Аннотация: Целью работы было выявление синхронизации между вариабельностью артериального давления и ритмом дыхания у здоровых крыс и крыс с экспериментально вызванным колитом при болевой стимуляции. Для решения задачи были использованы методы определения показателей синхронизации, основанные на нахождении мгновенных частот и фаз методом синхронно-сжатого вейвлет-преобразования. Показано, что болевое воздействие инициирует согласование дыхания и ВАД: наблюдается подтяжка частоты ВАД к дыхательной и последующее устойчивое фазовое выравнивание. Дыхание выступает ведущим процессом на этапе, предшествующем синхронизации. При колите длительность фазового удержания заметно уменьшается.

Ключевые слова: артериальное давление, дыхательная активность, вейвлет-разложение.

### Введение

Изучение взаимосвязи живых систем представляет важный вопрос в области теоретической биологии И актуальным является ДЛЯ фундаментальной медицины [1], с точки зрения выяснения роли определенной системы для решения вопроса о ее влиянии на нарушение регуляции других систем. Развитие стрессорных факторов и возникновение патологических состояний вызывает нарушение регуляции взаимодействия этих систем [2,3].

Считается, что кардиореспираторная связь взаимна, то есть ритм дыхания влияет на сердечно-сосудистую деятельность, а изменение пульса ртериального давления оказывает влияние на дыхательную деятельность [2].

Однако, взаимность связей сердечно-сосудистой и дыхательной систем при развитии патологического состояния остается неясной [2]. Например, неясно, каким образом изменение газообмена и связанная с этим гипоксия, оказывает влияние на сосудистую динамику, а также гипертензию, то есть повышение артериального давления [2,4].

Ритмы сердечно-сосудистой системы существенно нестационарны. Вариабельность этих ритмов означает изменчивость длительности временных интервалов между локальными максимумами артериального давления.

Связи в нестационарных рядах выявляем по мгновенным частотам и фазам [5–7]. Используем синхросжатое вейвлет-преобразование (synchrosqueezed wavelet transform - SWT), обеспечивающее более точные частотные траектории и фазовую оценку [8]; подход ранее подтверждён на данных дыхание–сердце и электроэнцефалограмме с ритмической стимуляцией [9–11].

Целью настоящей работы является рассмотрение взаимодействия сердечно-сосудистой и дыхательной систем при развитии патологического состояния, связанного с экспериментальным колитом, на основании анализа вариабельности длительности временных интервалов между локальными максимумами в паттернах артериального давления и ритма дыхания крыс.

Анализ таких взаимодействий связан с предположением о том, что развивающееся патологическое состояние в форме колита, вероятно, приводит к динамическим изменениям во взаимодействии изучаемых физиологических систем.

#### Методы

Анализ выполнялся на 30 синхронных парах временных рядов дыхательного ритма (ДР) и вариабельности артериального давления (ВАД) у крыс, содержащих два отрезка для каждой записи: до болевого воздействия и во время воздействия (колоректальное растяжение резиновым баллоном). Ряд ВАД представлялся последовательностью интервалов между соседними локальными максимумами артериального давления; дыхательный сигнал использовался как непрерывная кривая. Для согласования рабочих диапазонов к ВАД применялся узкополосный предобработчик в полосе 1–2,5

Гц, подавляющий компоненты ниже 1 Гц и выше 2,5 Гц; дыхательный сигнал дополнительно не фильтровался. Сегменты с выраженными артефактами исключались до дальнейших вычислений по простому правилу отклонений амплитуды от локальной медианы.

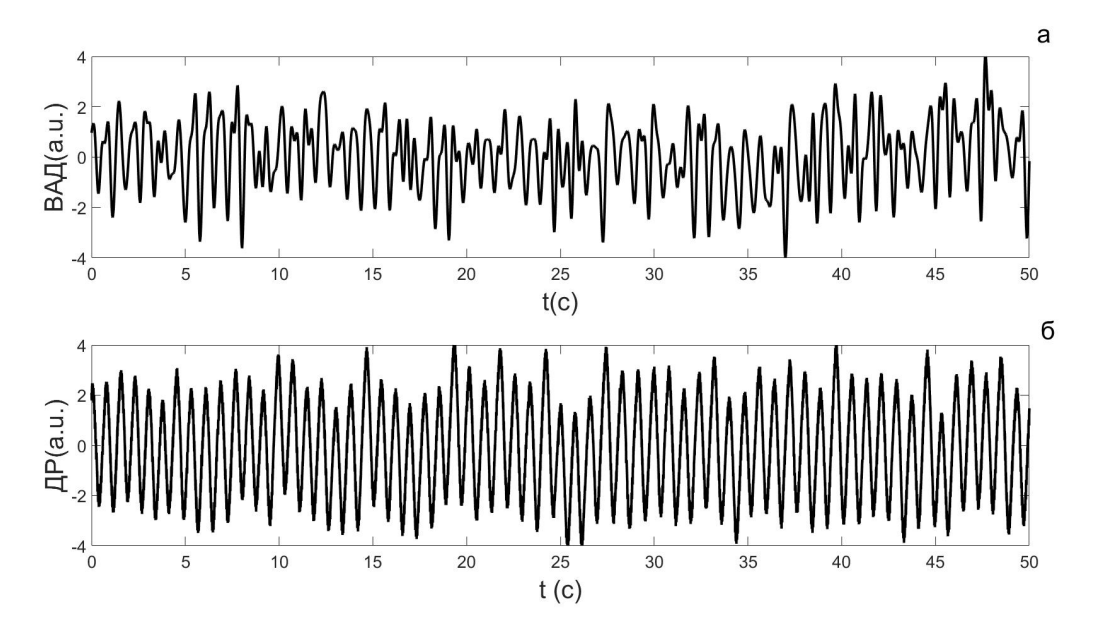


Рис. 1. – (а) Кривая вариабельности артериального давления (ВАД). (б) Колебания дыхательного ритма (ДР).

Для извлечения мгновенных частот и фаз использовалось синхросжатое вейвлет-представление [8] (SWT) сигналов  $x(\tau)$  (ВАД) и  $y(\tau)$  (ДР). Обозначим его  $S_x(v, \tau)$  и  $S_y(v, \tau)$ , v — частота,  $\tau$  — время. При фиксированном  $\tau$  частотные траектории определялись как аргументы локальных максимумов модуля спектральной энергии:

$$\hat{v}_{x}(\tau) = \arg \max_{v} |S_{x}(v,\tau)|, \hat{v}_{y}(\tau) = \arg \max_{v} |S_{y}(v,\tau)|.$$
 (1)

Мгновенные фазы брались как аргументы комплексного представления на этих траекториях:

$$\hat{\varphi}_{x}(\tau) = \arg S_{x}(\hat{v}_{x}(\tau), \tau), \hat{\varphi}y(\tau) = \arg S_{v}(\hat{v}_{v}(\tau), \tau). \tag{2}$$

Эпизоды согласования фиксировались при одновременном выполнении частотного и фазового критериев. Частотный критерий требовал, чтобы

отношение мгновенных частот удерживалось близким к единице на непрерывном интервале длиной не менее L<sub>min</sub>:

$$|\frac{\hat{v}_{x}(\tau)}{\hat{v}_{y}(\tau)}-1|$$
<  $\varepsilon$  на непрерывном интервале  $I,|I| \ge L_{\min},$  (3)

А фазовый — модулем скльзящего среднего единичных векторов на окружности  $S^1$ :

$$\gamma_{BAJI-JIP}(\tau) = \left| \frac{1}{W} \sum_{k=1}^{W} \exp(i[\hat{\varphi}_x(\tau_k) - \hat{\varphi}_y(\tau_k)]) \right|, \tag{4}$$

Где  $\{\tau_k\}$  — точки окна длиной  $L_{min}$ . Требование фазового удержания:  $\gamma_{\text{ВАД-ДР}}(\tau) \geq \gamma_{min}$  [13]. Основная метрика определялась как суммарная длительность таких эпизодов на заданном сегменте записи:

$$\Delta t_{syn} = \int_{T} H(\varepsilon - |\frac{\hat{v}_{x}(\tau)}{\hat{v}_{y}(\tau)} - 1|) H(\gamma_{BAJI-JIP}(\tau) - \gamma_{\min}) d\tau, \tag{5}$$

Где Т - интервал «до» или «во время» воздействия, Н (·) — функция Хевисайда. В основной конфигурации использовались  $\varepsilon = 0.05$ ,  $L_{min} = 3s$ ,  $\gamma$  min = 0.8; такие значения соответствуют типичному дыхательному диапазону и длительности устойчивых ответов у крыс [14].

## Результаты и обсуждение

На рис. 2 представлены глобальные вейвлетные спектры E(f) для временных рядов вариабельности артериального давления (ВАД) и дыхательного ритма (ДР), полученных для крысы А из контрольной группы до болевого воздействия (рис. 2 (а, д)) и во время болевого воздействия (рис. 2 (б, е)), а также для крысы В из группы с колитом до (рис. 2 (в, ж)) и во время болевого воздействия (рис. 2(г, з)), соответственно.

ВАД демонстрирует широкий спектр 1-3 Гц и локальные пики около дыхательных максимумов E(f) (рис. 2). При стимуляции у крысы В (колит)

спектр ВАД заметно меняется, у крысы А - почти нет.

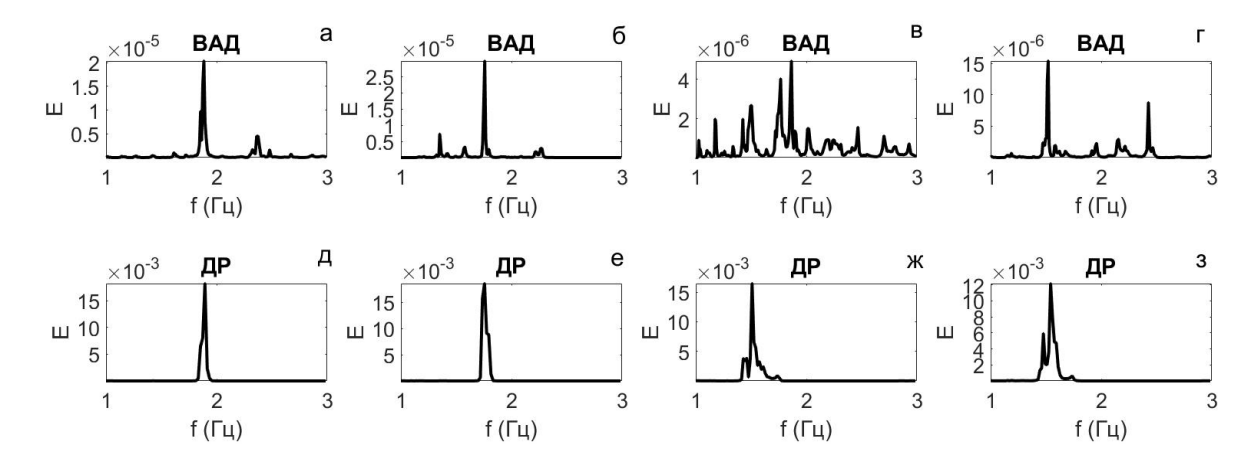


Рис. 2. — Глобальные вейвлетные спектры для ВАД и ДР: для крысы А из контрольной группы до (а, д) и вовремя (б, е) болевого воздействия, для крысы В из группы с колитом до (в, ж) и вовремя (г, з) болевого воздействия.

Поскольку глобальные спектры усредняют по времени и не показывают моменты появления частот, для изучения временной динамики и возможной подстройки частот мы перешли к локальным временно-частотным спектрам, задающим мгновенное распределение энергии.

На рис. 3 приведены примеры проекций локального вейвлетного спектра  $|W(f,t)|^2$  анализируемых временных рядов ВАД и ДР на плоскость (t, f) для крысы A из контрольной группы до (рис. 3(a, 6)) и во время болевого воздействия (рис. 3(b, 7)), а также для крысы B из группы с колитом до (рис. 3(b, 6)) и во время колоректального растяжения (рис. 3(b, 7)).

Этот рисунок иллюстрирует изменчивость во времени мгновенных частот вариабельности артериального давления во всех примерах. В частности, характерна высокая вариабельность ВАД у крысы В до воздействия (рис. 3д). Колоректальное растяжение вызывает изменение локальных вейвлетных спектров временных рядов ВАД и появление в некоторые моменты частотных полос вблизи частоты дыхательного ритма, которая остаётся почти неизменной до и во время болевого воздействия (рис. 3(6, r, e, 3)).

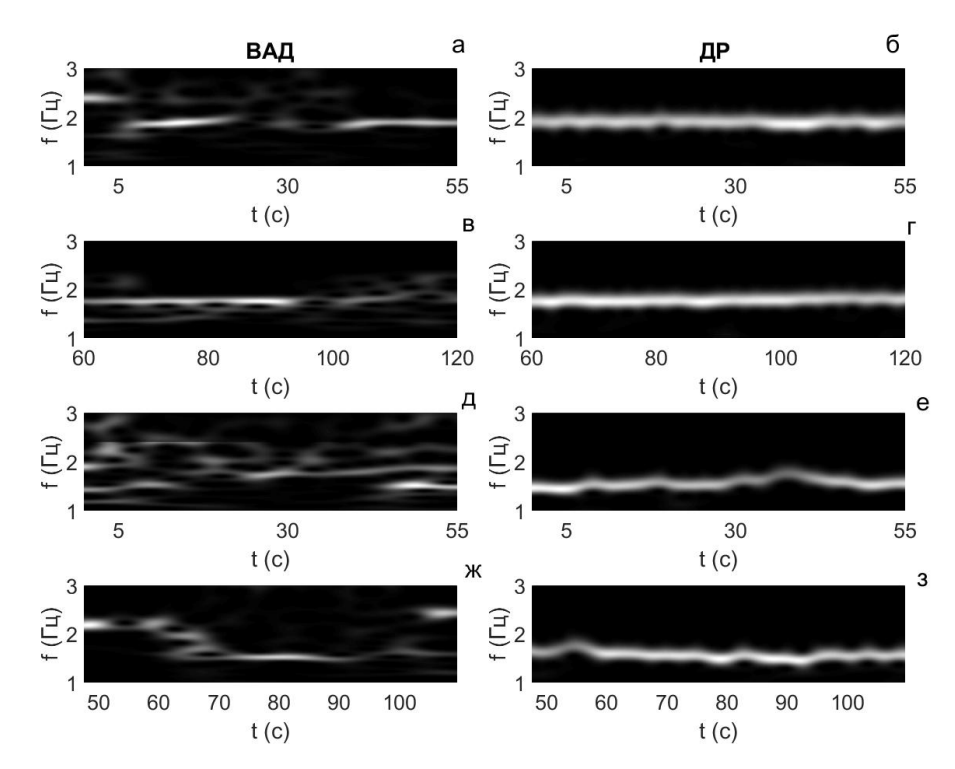


Рис. 3. — Проекции локального вейвлетного спектра на плоскости (t, f) для ВАД и ДР: (a, 6) и (b, r) для крысы А из контрольной группы до и вовремя болевого воздействия, (d, e) и (d, e) и

До стимуляции крысы А  $f_{\text{ВАД}}/f_{\text{ДР}} \approx 1$  на 11-24 с и 38 – 50 с, и там же  $\gamma_{\text{ВАД-ДР}}$  близок к 1 (рис. 4). Совокупно это даёт  $\Delta t_{\text{syn}} = 25$  с согласованного режима. Во время болевой стимуляции синхронизированное состояние сохраняется 33 секунды.

Для крысы В (группа полита) картина иная. До стимуляции признаки согласования отсутствуют:  $\gamma_{\text{ВАД-ДР}}$  близок к 0, а отношение  $f_{\text{ВАД}}/f_{\text{ДР}}$  не удерживается около единицы. После начала болевого воздействия примерно на 7-й секунде возникает подстройка частоты ВАД к дыхательной, вслед за которой формируется фазовая синхронизация. И затем согласованный режим поддерживается до конца записи, его длительность 53 секунды.

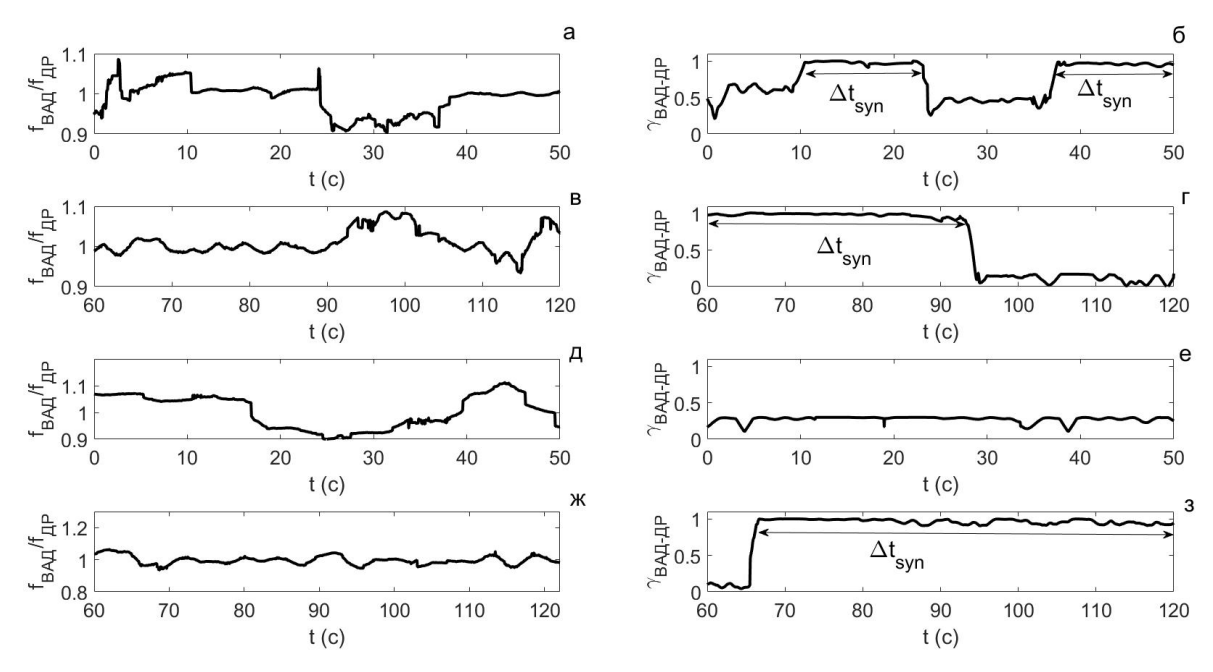


Рис. 4. — Динамика  $f_{\text{ВАД}}/f_{\text{ДР}}$  и  $\gamma_{\text{ВАД-ДР}}$  до/во время стимуляции: А(контроль) — (а,б) и (в,г); В(колит) — (д,е) и (ж,з).

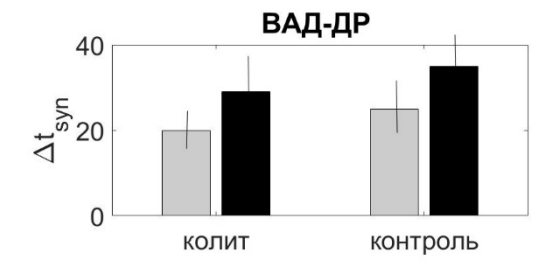


Рис. 5. — Средняя длительность согласованного режима  $\Delta t_{\text{syn}}$  для пары «ВАД—ДР». Слева показана группа колита, справа — контроль.

Полученные данные показывают, что во время колоректального растяжения длительность фазовой синхронизации повышалась как для контрольной группы здоровых крыс, так и для группы крыс с экспериментально вызванным колитом (Рис. 5).

Усредненные величины  $\Delta t_{syn}$  вад-др для группы с колитом меньше, чем для контрольной группы. До болевого воздействия для группы с колитом  $\Delta t_{syn}$  вад-др =20.6±3.1 (c), для контрольной группы  $\Delta t_{syn}$  вад-др=26.5±3.2 (c).

Во время болевого воздействия  $\Delta t_{syn}$   $_{BAД-ДP}$  =29.6±3.8 (c) и  $\Delta t_{syn}$   $_{BAД-ДP}$  =37.6±4.3 (c) для группы с колитом и для контрольной группы, соответственно.

#### Заключение

В работе выявлена возможность определения различий во взаимосвязях физиологических ритмов дыхания и артериального давления с помощью вейвлетного разложения реконструированных временных рядов, полученных после обработки исходных экспериментальных данных.

Оценены времена возникновения и завершения фазовой и частотной синхронизации между анализируемыми временными рядами и обнаружены различия в длительностях синхронизации для двух групп крыс (с нормальным состоянием и с патологическим состоянием, вызванным экспериментальным колитом). Это обусловлено тем, что хроническая боль в животе может приводить к динамическим изменениям во взаимодействии различных физиологических систем [15].

## Литература

- 1. Ляшева М.М., Ляшева С.А., Трегубов В.М., Шлеймович М.П. Метод сжатия изображений на основе анализа весов детализирующих коэффициентов вейвлет-преобразования // Инженерный вестник Дона. 2024. №10. URL: ivdon.ru/en/magazine/archive/n10y2024/9574.
- 2. Dick T.E., Hsieh Y-H., Dhingra R.R., Baekey D.M., Galán R.F., Wehrwein E., Morris K.F. Cardiorespiratory coupling: common rhythms in cardiac, sympathetic, and respiratory activities // Prog Brain Res. 2014. №209. pp. 191-205.
- 3. Болдырев С.В. Применение гибридных самоорганизующихся нейронных сетей и быстрого дискретного вейвлет-преобразования для

построения систем классификации сигналов // Инженерный вестник Дона, 2012, №2. URL: ivdon.ru/ru/magazine/archive/n2y2012/773.

- 4. Sin P.Y., Webber M.R., Galletly D.C., et al. Interactions between heart rate variability and pulmonary gas exchange efficiency in humans. Experimental Physiology. 2010. № 95. pp. 788–797.
- 5. Pikovsky A. S., Rosenblum M. G., Kurths J. Synchronization: A Universal Concept in Nonlinear Sciences. Cambridge: Cambridge University Press, 2001.
   (Cambridge Nonlinear Science Series; 12). 411 p.
- 6. Li D., Li X., Cui D., Li Z.. Phase synchronization with harmonic wavelet transform with application to neuronal populations // Neurocomputing. 2011. №74. C. 3389-3403.
- 7. Moskalenko O.I., Koronovskii A.A., Hramov A.E., et al. Estimate of the degree of synchronization in the intermittent phase synchronization regime from a time series: model systems and neurophysiological data. JETP Letters. 2016. №103. pp. 539–543.
- 8. Daubechies I., Lu J., Wu H.T. Synchrosqueezed wavelet transforms: an empirical mode decomposition-like tool // Applied and computational harmonic analysis. 2011. №30. pp. 243–261.
- 9. Wu H.T., Chan Y.H., Lin Y.T., Yeh Y.H. Using synchrosqueezing transform to discover breathing dynamics from ECG signals // Applied and computational harmonic analysis. 2014. №36. pp. 354–359.
- 10. Wu H.T., Lewis G.F., Davila M.I., Daubechies I., Porges S.W. Optimizing estimates of instantaneous heart rate from pulse wave signals with the synchrosqueezing transform // Methods of Information in Medicine. 2016. №55. pp. 463-472.
- 11. Dick O.E., Glazov A.L. Parameters of phase synchronization in electroencephalographic patterns as markers of cognitive impairment // Technical Physics. 2021. №66. pp. 661-671.

- 12. Dick O.E., Glazov A.L. Revealing the coupling directionality and synchronization between time series from physiological data by analysis of joint recurrences. // Chaos, Solitons and Fractals. 2023. vol. 173. p. 113768.
- 13. Thakur, G., Brevdo, E., Fuckar, N.S., Wu H.-T. The synchrosqueezing algorithm for time-varying spectral analysis: robustness properties and new paleoclimate applications // Signal Process. 2013. №93, pp. 1079–1094.
- 14. Mormann F., Lehnertz K., David P., Elger C.E. Mean phase coherence as a measure for phase synchronization and its application to the EEG of epilepsy patients // Physica D Nonlinear Phenomena. 2000. №144. pp. 358-369.
- 15. Farmer A.D., Aziz Q. Gut pain and visceral hypersensitivity // British Journal of Pain. 2013. №7. pp. 39-47.

## References

- 1. Lyasheva M.M., Lyasheva S.A., Tregubov V.M., Shleymovich M.P. Inzhenernyj vestnik Dona. 2024. № 10. URL: ivdon.ru/en/magazine/archive/n10y2024/9574.
- 2. Dick T.E., Hsieh Y-H., Dhingra R.R., Baekey D.M., Galán R.F., Wehrwein E., Morris K.F. Cardiorespiratory coupling: common rhythms in cardiac, sympathetic, and respiratory activities. Prog Brain Res. 2014. №209. pp. 191-205.
- 3. Boldyrev S.V. Inzhenernyj vestnik Dona, 2012, №2. URL: ivdon.ru/ru/magazine/archive/n2y2012/773.
- 4. Sin P.Y., Webber M.R., Galletly D.C., et al. Interactions between heart rate variability and pulmonary gas exchange efficiency in humans. Experimental Physiology. 2010. № 95. Pp. 788–797.
- 5. Pikovsky A. S., Rosenblum M. G., Kurths J. Synchronization: A Universal Concept in Nonlinear Sciences. Cambridge: Cambridge University Press, 2001. 411 p.

- 6. Li D., Li X., Cui D., Li Z.. Phase synchronization with harmonic wavelet transform with application to neuronal populations. Neurocomputing. 2011. №74. Pp. 3389-3403.
- 7. Moskalenko O.I., Koronovskii A.A., Hramov A.E., et al. Estimate of the degree of synchronization in the intermittent phase synchronization regime from a time series: model systems and neurophysiological data. JETP Letters. 2016. №103. Pp. 539–543.
- 8. Daubechies I., Lu J., Wu H.T. Synchrosqueezed wavelet transforms: an empirical mode decomposition-like tool. Applied and computational harmonic analysis. 2011. №30. Pp. 243–261.
- 9. Wu H.T., Chan Y.H., Lin Y.T., Yeh Y.H. Using synchrosqueezing transform to discover breathing dynamics from ECG signals. Applied and computational harmonic analysis. 2014. №36. Pp. 354–359.
- 10. Wu H.T., Lewis G.F., Davila M.I., Daubechies I., Porges S.W. Optimizing estimates of instantaneous heart rate from pulse wave signals with the synchrosqueezing transform. Methods of Information in Medicine. 2016. №55. Pp. 463-472.
- 11. Dick O.E., Glazov A.L. Parameters of phase synchronization in electroencephalographic patterns as markers of cognitive impairment. Technical Physics. 2021. №66. Pp. 661-671.
- 12. Dick O.E., Glazov A.L. Revealing the coupling directionality and synchronization between time series from physiological data by analysis of joint recurrences. Chaos, Solitons and Fractals. 2023. vol. 173. p. 113768.
- 13. Thakur, G., Brevdo, E., Fuckar, N.S., Wu H.-T. The synchrosqueezing algorithm for time-varying spectral analysis: robustness properties and new paleoclimate applications. Signal Process. 2013. №93, Pp. 1079–1094.

- 14. Mormann F., Lehnertz K., David P., Elger C.E. Mean phase coherence as a measure for phase synchronization and its application to the EEG of epilepsy patients. Physica D Nonlinear Phenomena. 2000. №144. pp. 358-369.
- 15. Farmer A.D., Aziz Q. Gut pain and visceral hypersensitivity. British Journal of Pain. 2013. №7. pp. 39-47.

Дата поступления: 16.10.2025

Дата публикации: 25.11.2025